

VÝPOČET NUMERICKÝCH DERIVÁCIÍ Z EXPERIMENTÁLNE  
MERANÝCH ÚDAJOV

Vendelín Szabó

Ústav stavebníctva a architektúry Slovenskej  
akadémie vied, Bratislava

Pri spracovávaní výsledkov experimentálnych meraní často vzniká potreba derivovania získaných údajov, nameraných v diskrétnych bodoch nezávisle premennej. Ukázalo sa, že presnosť numerického derivovania takýchto funkčných závislostí možno výrazne zlepšiť zavedením splajnových funkcií. Úloha viedie k systému lineárnych algebraických rovníc s trojdiagonálnou maticou koeficientov, pre riešenie ktorého sa rozpracovala rýchla a efektívna metóda, odstraňujúca invertovanie matice koeficientov. Sú ukázané vzťahy pre praktický výpočet prvých i druhých derivácií pri nerovnomernom a rovnomerom delení uvažovaného intervalu pre prípad, kedy v okrajových uzloch okrem hodnôt funkcie nie sú zadané ďalšie okrajové podmienky. Pri výpočte druhých derivácií na rovnomerne rozdelenom intervale sa poukazuje na podstatné zvýšenie presnosti pri vhodnej volbe koeficientu.

## Úvod

Pri riešení mnohých problémov experimentálnej mechaniky, najmä pri vyhodnocovaní meraní pre inžinierske aplikácie vzniká potreba vyjadrenia dimenčných alebo iných charakteristických veličín ako derivácií experimentálne meranej funkčnej závislosti. Napríklad pri vyšetrovaní tenkých priečne zatažených dosiek holograficko-interferenčná metóda umožňuje meranie príhybov s vysokou presnosťou, stavebná prax však vyžaduje určenie ďalších dimenčných veličín, hlavne ohybových momentov. V praxi používané metódy získavania derivácií experimentálne meraných veličín môžeme rozdeliť do troch skupín:

1. Optické derivovanie, založené na využití javu moiré pri superpozícii dvoch identických interferogramov, vzájomne voči sebe posunutých vo smere derivovania. Táto metóda je však málo presná a vyžaduje husté a kontrastné siete interferenčných čiar.
2. Priame optické metódy merania derivácií posunutí, ktoré sú najúčinnejšie a najperspektívnejšie, sú však zatiaľ nedostatočne rozpracované.

Optické metódy majú svoje opodstatnenie hlavne vtedy, ak je žiaduce zachovať obrazový, názorný charakter informácie.

3. Numerické metódy derivovania experimentálne meraných údajov. Všeobecne používané postupy, ako zostrojovanie dotyčník k experimentálnym krivkám a diferenčná technika sú ohrazené na derivácie nízkych rádov, často nie sú dostatočne presné a celkové ich možno charakterizovať ako obťažné, subjektívne a náročné na čas. Moderné výpočtové metódy, využívajúce počítače umožňujú vyjadrenie experimentálne meraných závislostí pomocne jednoduchým výrazom. K tomuto účelu sa najčastejšie používajú polynomy a ich kombinácie s exponenciálnymi a logaritmickými funkiami. Kým však takéto výrazy dobre interpolujú hľadánu funkciu pri jej derivovaní javia často veľké chyby.

Presnosť numerického derivovania možno výrazne zlepšiť využitím vlastností splajnových funkcií.

## V l a s t n o s t i k u b i c k ý c h s p l a j n o v

Splajnové funkcie sa zaviedli na základe analógie tzv. mechanických "splajnov" [1], používaných kresličmi pre konštrukovanie hladkých kriviek, prechádzajúcich danými bodmi. Túto kresličskú pomôcku tvorí dlhá tenká pružná latka, na ktorú sa vo vhodných bodoch zavesujú závažia tak, aby jej ohybová čiara prechádzala danými funkčnými hodnotami. Takýto mechanický splajn pôsobí ako analogový počítač klasického Bernoulli-Eulerovo-vzťahu. Matematický splajn potom možno chápať ako približné vyjadrenie ohybovej čiary nosníka časťami kubických parabol medzi dvojicami podpôr.

Budeme sa zaoberať kubickými splajnami, ktoré definujeme nasledovným spôsobom:

Nech na množine reálnych diskrétnych hodnôt nezávisle premennej  $x_i$ ,  $i = 1, 2, 3, \dots, n$

$$x_1 < x_2 < x_3 < \dots < x_i < \dots < x_{n-1} < x_n \quad (1)$$

je ku každej hodnote  $x_i$  priradená reálna funkčná hodnota  $z_i$

$$z_i = f(x_i). \quad (2)$$

Kubický splajn s uzlami v bodoch  $x_i$  je funkcia definovaná v celom intervale  $\langle x_1, x_n \rangle$ , pričom

1. V každom podintervale  $\langle x_{i-1}, x_i \rangle$ ,  $x_{i-1} \leq x \leq x_i$  je daná kubickým polynomom

$$f(x) = a_i^{(1)} + a_i^{(2)}(x_i - x) + a_i^{(3)}(x_i - x)^2 + a_i^{(4)}(x_i - x)^3 \quad (3)$$

2. Splňuje podmienku (2), pritom v celom uvažovanom intervale je spojitá a má spojité prvé a druhé derivácie

$$\begin{aligned} z'(x_{i+}) &= z'(x_{i-}) && \text{a/} \\ z''(x_{i+}) &= z''(x_{i-}) . && \text{b/} \end{aligned} \quad (4)$$

Príslušné odvodenie pre prvé derivácie  $m_i = z'(x_i)$  alebo pre druhé derivácie  $M_i = z''(x_i)$  ukázané napr. v [2,3] vedie k riešeniu systému lineárnych algebraických rovníc s trojdiagonálnou maticou koeficientov (5) s prvkami  $B_i$ ,  $C_i$ ,  $i = 1, \dots, n$

na vedľajších diagonáloch /z formálnych dôvodov predpokladáme  
 $B_1 = C_n = 1/.$

$$\begin{bmatrix} 1 & C_1 & 0 & 0 \\ B_2 & 1 & C_2 & 0 \\ 0 & B_3 & 1 & C_3 \\ \dots & \dots & \dots & \dots \\ 1 & C_{n-2} & 0 \\ B_{n-1} & 1 & C_{n-1} \\ 0 & B_n & 1 \end{bmatrix} \begin{bmatrix} z_1 \\ z_2 \\ z_3 \\ \dots \\ z_{n-2} \\ z_{n-1} \\ z_n \end{bmatrix} = \begin{bmatrix} R_1 \\ R_2 \\ R_3 \\ \dots \\ R_{n-2} \\ R_{n-1} \\ R_n \end{bmatrix} \quad (5)$$

$Z_i$  je označenie pre hľadanú deriváciu,  $R_i$  sú príslušné pravé strany systému rovníc. Prvky  $C_1$  a  $B_n$  vyjadrujú okrajové podmienky riešenia.

Riešenie systému (5) priamou metódou môžeme napisať v tvare (6)

$$z_i = \sum_{k=1}^n D_{i,k}^{-1} R_k \quad (6)$$

kde  $D_{i,k}^{-1}$  sú prvky inverznej matice koeficientov. Vypracovali sme však efektívnu metódu riešenia systémov typu (5) [2,4], pri ktorej prvky inverznej matice sme vyjadrili ako súčiny funkcií, z ktorých jedna je funkciou len indexu i, druhá len indexu k. Potom (6) môžeme napisať v tvare

$$z_i = v_i \sum_{k=1}^i U_k R_k + U_i^{(1)} \sum_{k=i+1}^n V_k^{(1)} R_k \quad (7)$$

kde

$$\begin{aligned} v_i &= -\frac{1}{B_{i+1}} [v_{i+1} + C_{i+1} v_{i+2}], \\ V_k^{(1)} &= -\frac{1}{C_k} [V_{k+1}^{(1)} + B_{k+1} V_{k+2}^{(1)}], \\ v_n &= V_n^{(1)} = (-1)^n, \quad v_{n+1} = V_{n+1}^{(1)} = 0, \\ U_k &= -\frac{1}{B_k} [U_{k-1} + C_{k-2} U_{k-2}], \\ U_i^{(1)} &= -\frac{1}{C_{i-1}} [U_{i-1}^{(1)} + B_{i-1} U_{i-2}^{(1)}], \end{aligned} \quad (8)$$

$$U_0 = U_C^{(1)} = 0, \quad U_1 = -1/V_0, \quad U_1^{(1)} = -1/V_0^{(1)}.$$

Naznačený spôsob priameho riešenia s vyjadrením prvkov inverznej matice pomocou rekurentných vzťahov (8), ktorý odstraňuje nevyhnutnosť invertovania matice koeficientov je veľmi rýchly a vhodný i pri neautomatizovanom výpočte pomocou malých kalkulačiek. Táto ako i ďalšie výhody metódy sa plne prejavia pri výpočte pomocou samočinných počítačov, najmä pri uvažovaní veľkého počtu n uzlov.

Pre praktické použitie sme vypracovali algoritmy: TRINV [5], ktorý rieši všeobecný systém typu (5) a SPLINE [6], ktorý počíta korene zjednodušeného systému pri rovnomenom delení intervalu. Pre riešenie systémov typu (5) je možné použiť aj iné, napr. eliminačné metódy výpočtu. Nami ukázaný spôsob podľa (7) bude výhodný hlavne pri výpočte derivácií na rovinných sietiach, kedy ide o riešenie pre rôzne pravé a tie isté ľavé strany systému (5); ďalej v prípadoch, kedy nás zaujímajú hodnoty derivácií len v niektorých zvolených uzloch intervalu.

#### D i s k r é t n y c h a r a k t e r e x p e r i m e n - t á l n e m e r a n ý c h ú d a j o v

Rozbor vlastností splajnových funkcií a presnosti výpočtu pri numerických aplikáciach ukazujú, že kubické splajny možno výhodne používať pri určovaní derivácií funkcií zadaných v diskrétnych bodoch nezávislej premennej. Takýto charakter meraných funkčných závislostí dáva väčšina experimentálnych metod. Optické, interferenčné metódy experimentálnej analýzy napäť a deformácií poskytujú obraz vrstevníc meraných veľmi obvykle vo forme fotografie povrchu vyšetrovanej konštrukcie s superponovanými svetlými a tmavými pruhmi, ktoré reprezentujú interferenčný jav medzi dvomi vlnoplochami, vznikajúcimi pri dvoch fyzikálne odlišných stavoch konštrukcie. Keďže tie-to pruhy vznikajú interferenciou, maximum intenzity vzniká vždy, keď merané premiestnenie dosiahne poločiselný násobok vlnovej dĺžky použitého svetla. Každý interferenčný pruh reprezentuje teda vrstevnicu konštantného premiestnenia. Napríklad pri vyšetrovaní ohybu tenkých dosiek holograficko-interfe-

renčnou metódou získaný interferogram /obr.1/ obsahuje čiary rovnakých priehybov.

Interferenčný obraz spravidla charakterizuje funkcia typu  $\cos^2 \Delta\psi$ , kde  $\Delta\psi$  znamená dráhový rozdiel. Funkčné hodnoty potom môžeme určiť s postačujúcou presnosťou len v miestach miním /prípadne maxím/ intenzity, v ostatných bodoch oblasti je interpretácia vzhľadom na charakter funkcie obtiažná a menej presná.

Experimentálne získavané veličiny pri interferenčných meraniach predstavujú teda sériu meraných polôh miním /maxím/ interferenčného obrazu. Táto diskrétna povaha údajov vyžaduje a/ použitie interpolačných a aproximačných metód, ak je žiaduce poznať hodnoty meranej funkcie v medziľahlých bodoch oblasti;

b/ rozpracovanie vhodných numerických metód, ak hľadáme hodnoty derivácií meranej funknej závislosti.

### Výpočet prvých dierivácií

Uvažujme rozdelenie intervalu  $\langle x_1, x_n \rangle$  bodmi  $x_i$  na  $n-1$  podintervalov dĺžky  $h_i$ ,  $i = 2, 3, \dots, n$

$$h_i = x_i - x_{i-1} \quad (9)$$

Odvodenie pre prvé derivácie  $z_i = m_i$ , podrobnejšie ukázané v [2,3] vedie k systému rovnic typu (5), v ktorom pre  $i = 2, 3, \dots, n-1$

$$B_i = 0,5 \frac{h_{i+1}}{h_i + h_{i+1}}, \quad C_i = 0,5 - B_i \quad (10)$$

$$R_i = \frac{3}{2} \frac{1}{h_i + h_{i+1}} \left[ \frac{h_{i+1}}{h_i} (z_i - z_{i-1}) + \frac{h_i}{h_{i+1}} (z_{i+1} - z_i) \right] \quad (11)$$

Okrajové podmienky pre prípad, kedy v uzloch  $x_1$  a  $x_n$  okrem funkčných hodnôt  $z_1$  a  $z_n$  nepoznáme ďalšie podmienky možno odvodiť v tvare [3]:

$$\begin{aligned} C_1 &= B_n = 1 \\ R_1 &= 2 \frac{z_2 - z_1}{h_2}, \quad R_n = 2 \frac{z_n - z_{n-1}}{h_n} \end{aligned} \quad (12)$$

Výpočet numerických derivácií funkcie, zadanej jej hodnotami v diskrétnych bodoch sme overovali na simulovaných príkladoch, kedy za dané funkčné hodnoty v uzloch intervalu sa považovali presné hodnoty zvolenej analytickej funkcie. Takýto prístup dovoľuje názorne posudzovať presnosť, s akou splajnové funkcie aproksimujú i zložitejšie funkčné závislosti, umožňuje skúmať mechanizmus výpočtu, vplyv rôznych parametrov, ako i naznačuje možnosti aplikácií metódy.

Ilustratívny príklad 1.: Závislosť presnosti výpočtu numerických derivácií pomocou opisovanej metódy na počte uzlov v uvažovanom intervale je samozrejmá a je spoločnou vlastnosťou všetkých numerických metód. Pre ilustráciu ukážeme výsledky výpočtu prvých derivácií na simulovanom príklade. Presné hodnoty funkcie

$$z_i = 1,5 x_i^2, \exp(-0,5 x_i) \quad (13)$$

v uzloch  $x_i$  intervalu  $\langle 0, 2 \rangle$  sme považovali za údaje, simulujuče experimentálne merané hodnoty. Hodnoty  $m_i$  riešením systému (5) podľa (7) s ohľadom na (9)-(12) sme vypočítali pre dva prípady nerovnomerného delenia intervalu s  $n=20$  a  $n=14$  /stĺpce 1 resp. 5 tab.1/ a s polohami uzlov  $x_i$  podľa stĺpca 2 tab.1. Relatívne odchýlky  $P_m$  medzi vypočítanými  $m_i$  a teoretickými hodnotami  $z'_i$

$$P_m = 100 \frac{z'_i - m_i}{z'_i} \% \quad (14)$$

sú v stĺpcoch 3 resp. 6 tabuľky. Stĺpce 5 a 7 obsahujú relatívne odchýlky  $P_r$

$$P_r = 100 \frac{z'_i - \delta_i}{z'_i} \% \quad (15)$$

medzi teoretickými hodnotami  $z'_i$  a diferenčnými hodnotami  $\delta_i$ , počítanými podľa vzťahu

$$\delta_i = \frac{h_{i+1}}{h_i + h_{i+1}} \left[ \frac{z_i - z_{i-1}}{h_i} + \frac{h_i}{h_i + h_{i+1}} \frac{z_{i+1} - z_i}{h_{i+1}} \right], \quad (16)$$

ktorý sa pre výpočet diferenčných hodnôt pri nerovnomernom delení siete v praxi často používa. Z porovnania (16) a (11) vyplýva, že pravé strany rovníc (5) obsahujú vlastne vzťah pre

diferenčný výpočet, z porovnania výsledkov v tab.1 však vyplýva rádovo viacnásobne lepšia presnosť výpočtu pomocou splajnových funkcií. Záverečná správa [2] obsahuje viac námerických experimentov, potvrdzujúcich tento záver.

Rovnomerné delenie intervalu. Pri riešení praktických úloh sa často vyskytuje prípad rovnomerne rozdeleného intervalu s  $n-1$  podintervalmi dĺžky  $h_i = h$ . Z (1C) a (11) potom máme

$$B_i = C_i = B = 0,25, \quad R_i = C, 75 \frac{z_{i+1} - z_{i-1}}{h} \quad . \quad (17)$$

a pre okrajové podmienky (12)

$$C_1 = B_n = 1, \quad R_1 = 2 \frac{z_2 - z_1}{h}, \quad R_n = 2 \frac{z_n - z_{n-1}}{h}. \quad (18)$$

Pre výpočet  $m_i$  môžeme použiť výraz (7) s príslušne upravenými vzťahmi (8) alebo jednoduchšie riešenie (19) pre rovnomerne rozdelené uzly

$$\begin{aligned} z_1 &= D^{-1} \bar{U}_1 [\bar{V}_1 R_1 + C_1 B^{-1} \sum_{k=2}^n \bar{V}_k R_k], \\ z_i &= D^{-1} [\bar{V}_i \sum_{k=1}^{i-1} \bar{U}_k R_k + \bar{U}_i \sum_{k=i+1}^n \bar{V}_k R_k], \\ z_n &= D^{-1} \bar{V}_n [B_n B^{-1} \sum_{k=1}^{n-1} \bar{U}_k R_k + \bar{U}_n R_n] \end{aligned} \quad (19)$$

kde

$$D = (1 - C_1 B_n) D_{n-2} + [C_1 B_n - B(C_1 + B_n)] D_{n-3},$$

$$D_t = D_{t-1} - B^2 D_{t-2}, \quad D_{-1} = 0, \quad D_0 = 1,$$

$$\bar{V}_i = (-B)^i (D_{n-i-1} - B_n B \cdot D_{n-i-2}), \quad i=1,2,\dots,n-1 \quad (20)$$

$$\bar{V}_n = (-B)^n,$$

$$\bar{U}_1 = -B^{-1},$$

$$\bar{U}_k = (-B)^{-k} (D_{k-2} - C_1 B \cdot D_{k-3}), \quad k=2,3,\dots,n.$$

V záverečnej správe sme vypracovali [2] pre výpočet (20) podprogram VUD a pre riešenie  $Z_i$  podľa (19) podprogram ZKOR. Tieto podprogramy sú všeobecnejšie a platia pre libovolné  $B$ ,  $C_1$  a  $B_n$ . V našom prípade pre  $B=C,25$  a  $C_1=B_n=1$  možno výrazy (19)

a (20) ešte zjednodušíť.

Ilustratívny príklad 2.: Použitie kubických splajnov pri derivovaní experimentálne nameraných údajov ukážeme na príklade štvorcovej votknutej dosky, zataženej v strede sústredenou silou P. Model dosky o rozmeroch 72 x 72 mm sme vyšetrovali holograficko-interferenčnou metódou, ktorá umožňuje získanie čiar rovnakých priehybov na celom povrchu modelu. Na obr.1 sú interferenčné čiary rovnakých priehybov pre zataženie  $P = 4,9 \text{ N}$ . V miestach miním intenzity svetla /tmavé pruhy/ sú veľkosti priehybov w dané vzdialom

$$w = c \frac{\lambda}{2}, \quad c = \pm \frac{1}{2}, \pm \frac{3}{2}, \pm \frac{5}{2}, \dots,$$

kde  $\lambda$  je vlnová dĺžka použitého monochromatického svetla He-Ne laseru, c je z interferogramu určená tzv. hodnota interferenčnej čiary.

Výpočet prvých derivácií priehybov sme previedli v reze C - C, vedenom cez stred dosky a rozdelenom bodmi  $x_i$ ,  $i=1 - 19$  na 18 rovnakých podintervalov dĺžky  $h=0,4 \text{ cm}$ . Hodnoty priehybov  $w_i = z_i$  v uzloch intervalu, určené z interferogramu na obr.1 a prepočítané na zataženie  $P = 1 \text{ N}$  tvorili vstupné údaje pre výpočet.

Vyššie uvedenou metódou derivovania pri okrajových podmienkach (18) vypočítané hodnoty  $m_i$  sme označili krížikmi na grafe na obr.2 a porovnali s teoretickými hodnotami, vypočítanými na základe teórie ohybu tenkých dosiek, ktorých priebeh sme vyznačili spojitu čiarou.

Pri porovnávaní výsledkov treba uvážiť, že teoretické metódy výpočtu vychádzajú z určitých predpokladov, čo sa týka izotropnosti a homogenosti materiálu, materiálových konštánt, spôsobu zataženia a okrajových podmienok. Experimentálne vyšetrovanie dáva výsledky meraní na konkrétnych fyzikálnych modeloch, odrážajúce reálne vlastnosti modelového materiálu a vplyv rozdielneho pôsobenia predpokladaného a realizovaného podporného systému. Výrazný je napr. vplyv okrajových podmienok. V uvedenom príklade teoretický výpočet predpokladá dokonale votknutie, t.j. nulové potočenie na okraji oblasti. Experimentálne realizovaný systém podopretia nemôže plne vystihnúť

tento idealizovaný predpoklad, čo ovplyvní merané hodnoty w ako i hodnoty  $m_i$  najmä v blízkosti okraja. Vypočítané hodnoty  $m_1$  a  $m_{19}$  nie sú teda ovplyvnené len chybami numerickej metódy, ale odrážajú aj fyzikálne podmienky experimentu. Tento záver podporuje i poznatok, že výpočet  $m_i$  pri predpoklade nulového pootočenia na okraji  $/C_1=B_n=0/$  dáva v susedných bodech horšie výsledky /na obr.2 vyznačené krúžkami/.

### Výpočet druhých derivácií

Cdvodenie pre výpočet druhých derivácií  $Z_i = M_i$  viedie k systému rovnic typu (5), v ktorom pre koeficienty a pravé strany máme pre  $i = 2, 3, \dots, n-1$

$$B_i = 0,5 \frac{h_i}{h_i + h_{i+1}}, \quad C_i = 0,5 - B_i, \quad (21)$$

$$R_i = \frac{3}{h_i + h_{i+1}} \left[ \frac{z_{i+1} - z_i}{h_{i+1}} - \frac{z_i - z_{i-1}}{h_i} \right]$$

alebo v prípade rovnoramenného rozdelenia intervalu  $h_i = h$

$$C_i = B_i = B = 0,25, \quad (22)$$

$$R_i = \frac{3}{2h^2} (z_{i+1} - 2z_i + z_{i-1})$$

s okrajovými podmienkami

$$\begin{aligned} C_1 &= B_n = 1, \\ R_1 &= \frac{2}{h^2} (z_3 - 2z_2 + z_1), \\ R_n &= \frac{2}{h^2} (z_n - 2z_{n-1} + z_{n-2}). \end{aligned} \quad (23)$$

Ukázalo sa, že výpočet druhých derivácií  $M_i$  riešením systému (5) pre  $B = 0,25$  / (22) / dáva výsledky s presnosťou rádovo niekoľkonásobne horšou, než výpočet prvých derivácií pri rovnoramennom delení pre  $B = 0,25$ . V tabuľke 2 je porovnanie relatívnych odchyiek medzi teoretickými hodnotami a vypočítanými deriváciemi pre prvé derivácie podľa (14) a pre druhé derivácie podľa (24)

$$P_M = 100 \frac{\frac{z''_i - M_i}{z''_i}}{\%} \quad (24)$$

pre simulované príklady funkcií

$$z_i = 0,75 \sin^2 x_i \quad (25)$$

v intervale  $x_i \in \langle \pi/60, 29\pi/60 \rangle$  a

$$z_i = 958 x_i^4 - 1326 x_i^3 + 384 x_i^2 + 20 x_i \quad (26)$$

v intervale  $x_i \in \langle 0, 1 \rangle$ .

Uvažované intervaly boli bodmi  $x_i$ ,  $i = 1, 2, \dots, 29$  rozdeľené na 28 rovnakých podintervalov dĺžky  $h$

$$h = (x_n - x_1) / (n-1).$$

Hodnoty  $P_m$  a  $P_M$  sú v tab.2 ukázané pre vnútorné body intervalu  $i = 10 - 20$ .

K tomuto záveru o menšej presnosti výpočtu druhých derivácií sa dospeло krátko po prvých aplikáciach splajnových funkcií k výpočtu numerických derivácií. Pre zvýšenie presnosti druhých derivácií niektorí autori odporúčali /napr. [1] / tzv. výpočet "splajnu zo splajnu". Táto metóda spočíva v aplikovaní riešenia systému (5) pre prvé derivácie dvakrát za sebou, pričom pri druhom výpočte sú vypočítané hodnoty  $m_i$  považované za vstupné funkčné hodnoty. Takýto spôsob výpočtu dáva presnejšie výsledky ako priamy výpočet  $M_i$  s  $B = 0,25$ .

Previedli sme [2] rozbor vplyvu koeficientu  $B$  na presnosť riešenia, pričom výraz (22) pre pravé strany systému (5) sme uvažovali v tvare

$$R_i = \frac{1+2B}{h^2} (z_{i+1} - 2z_i + z_{i-1}) \quad (27)$$

Výsledky výpočtov, prevedených s  $B = 0,05; 0,1; 0,15; 0,175; 0,2; 0,225; 0,25; 0,275; 0,3; 0,35; 0,4$  pre celý rad rôznych simulovaných funkcií viedli k poznatku, že výpočet  $M_i$  pri rovnomenom delení intervalu dáva najpresnejšie výsledky, porovnatelné s presnosťou výpočtu prvých derivácií  $m_i$  pri riešení systému (5) pre  $B = 0,1$ , okrajové podmienky (23) a pravé strany

$$R_i = \frac{1,2}{h^2} (z_{i+1} - 2z_i + z_{i-1}). \quad (28)$$

Na obr.3 je vykreslená závislosť relatívnych odchýlik  $P_M$  na uvažovaných hodnotách B pre zvolené funkcie (25), (26) a funkciu (13) v intervale  $x_i \in \langle 0,1; 1 \rangle$  pri rovnomernom dele- ni intervalu na 28 podintervalov. Graf je nakreslený pre uzol  $i = 10$ .

Ilustratívny príklad 3.: Na obr.4 sú krúžkami vyznačené uvedenou metódou vypočítané hodnoty druhých derivácií  $M_i$  funkcie priehybov bodove podopretej štvorcovej dosky, začasenej v strede sústredenou silou  $P = 1 \text{ N}$ . Model dosky rozmerov  $90 \times 90 \text{ mm}$  sme vyšetrovali metódou holografickej interferometrie [7]. Vypočítané hodnoty  $M_i$  sú na obr.4 porovnané s hodnotami druhých derivácií priehybov, získanými graficko-numerickým derivovaním a vyznačenými krížikmi a s hodnotami vyplývajúcimi z riešenia uvažovanej dosky metódou konečných elementov /ležaté krížiky/.

### Záver

Uvedená metóda numerického derivovania, založená na využití vlastností splajnových funkcií dáva spoľahlivé a dostatočne presné výsledky a možno ju úspešne použiť pri spracovávaní experimentálne nameraných údajov. Riešenie viedie k jednoduchým vzťahom pre praktický výpočet, vhodným i v prípade neďostupnosťi samočinného počítača.

Pri opísanej metóde sa predpokladá, že experimentálne hodnoty dobre vystihujú meranú funkčnú závislosť a nevykazujú výraznejší rozptyl hodnôt. Túto podmienku možno bez ľažkostí zabezpečiť u interferančných metód, ktoré sú vysoko citlivé, presné a poskytujú informácie v celej vyšetrovanej oblasti.

L i t e r a t ú r a:

1. Ahlberg,J.H. - Nilson,E.N. - Walsh,J.L.:The Theory of Splines and Their Applications, Acad.Press,New York - London, 1967.
2. Szabó,V.:Derivovanie experimentálne nameraných údajov pomocou splajn-funkcií, Záverečná správa, ÚSTARCH-SAV Bratislava, 1976.
3. Szabó,V.:Numerické derivovanie experimentálne nameraných údajov pomocou splajnov, Stavebnícky časopis, 1977, v tlači.
4. Szabó,V. - Sumec,J.:Použitie splajn-funkcií pre numerické derivovanie, Sborník 4. sympózia "Algoritmy vo výpočtovej technike", 19.-22.4.1977 /v tlači/.
5. Sumec,J. - Szabó,V.:TRINV - Riešenie systému lineárnych algebraických rovníc s trojdiagonálnou maticou, Aplikace matematiky, Algoritmy /v tlači/
6. Sumec,J. - Szabó,V.:SPLINE - Výpočet derivácií funkcie zadanej v bodech pri rovnomernom delení intervalu, Sborník 4. Sympózia "Algoritmy vo výpočtovej technike", 19.-22.4. 1977 /v tlači/
7. Balaš,J. - Nasch,Ľ. - Szabó,V.:Výpočet dosák kombináciou holografickej interferometrie a metódy konečných prvkov, Stavebnícky časopis, 1977 č. 4.

Tabuľka 1

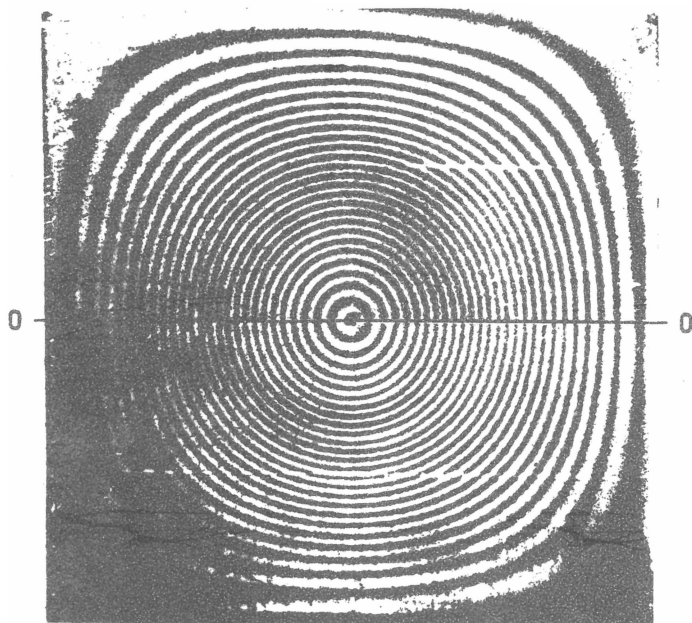
| i  | $x_i$ | $P_m$       | $P_r$       | i  | $P_m$       | $P_r$       |
|----|-------|-------------|-------------|----|-------------|-------------|
| 1  | 2     | 3           | 4           | 5  | 6           | 7           |
| 1  | 0,0C  | -0,731E+C1  | -0,127E+02  | 1  |             |             |
| 2  | 0,04  | 0,55CE+00   | -0,C102E+01 | 2  | -0,213E+01  | -0,25CE+01  |
| 3  | 0,16  | 0,55CE+00   | 0,117E+00   |    |             |             |
| 4  | 0,26  | -0,C548E-C1 | 0,347E+00   | 3  | 0,300E+00   | 0,894E+00   |
| 5  | 0,34  | 0,6C6E-02   | 0,164E+00   |    |             |             |
| 6  | 0,48  | 0,535E-C2   | 0,145E+00   | 4  | -0,C302E-C1 | 0,627E+00   |
| 7  | 0,52  | -0,300E-02  | 0,512E+00   | 5  | 0,814E-02   | 0,512E+00   |
| 8  | 0,64  | 0,174E-02   | 0,506E+00   | 6  | 0,141E-02   | 0,720E+00   |
| 9  | 0,80  | 0,106E-02   | 0,166E+00   |    |             |             |
| 10 | 0,94  | -0,C136E-02 | 0,174E+00   | 7  | -0,C132E-02 | 0,591E+00   |
| 11 | 1,00  | 0,192E-C2   | 0,254E+00   | 8  | 0,208E-02   | 0,45CE+00   |
| 12 | 1,16  | -0,155E-02  | 0,341E+00   |    |             |             |
| 13 | 1,26  | 0,177E-02   | 0,114E+00   | 9  | -0,300E-C2  | 0,194E+00   |
| 14 | 1,34  | -0,C251E-C2 | 0,844E-C1   | 10 | 0,244E-C2   | 0,172E+00   |
| 15 | 1,42  | 0,172E+00   | 0,189E+00   | 11 | 0,281E-C2   | 0,189E+00   |
| 16 | 1,60  | -0,C273E-02 | 0,112E+00   | 12 | -0,C159E-01 | 0,112E+00   |
| 17 | 1,70  | 0,134E-C2   | 0,139E+00   | 13 | 0,687E-01   | 0,177E+00   |
| 18 | 1,82  | -0,148E-C2  | 0,419E-01   |    |             |             |
| 19 | 1,96  | 0,642E-C2   | -0,458E+00  | 14 | -0,C323E+00 | -0,C187E+C1 |
| 20 | 2,00  | -0,C179E-C1 |             |    |             |             |

Tabuľka 2

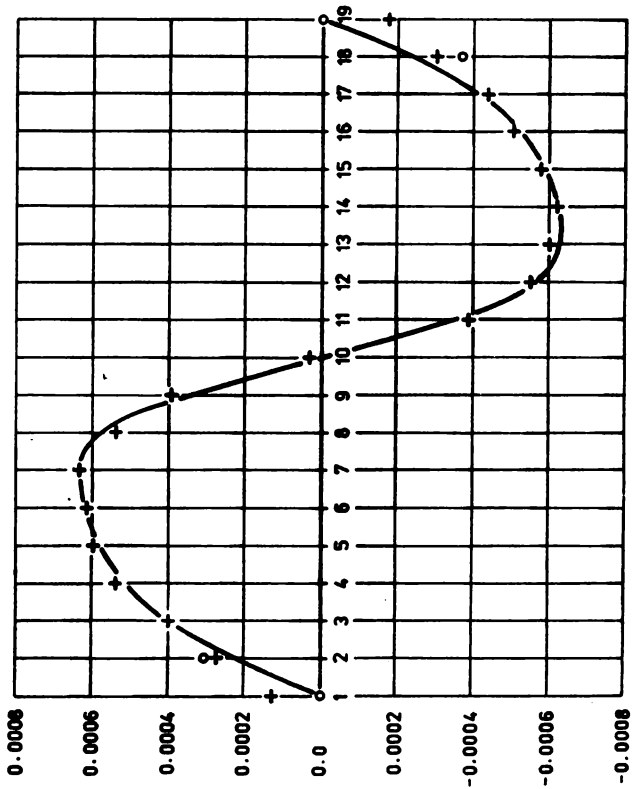
| i  | funkcia (25) |              | funkcia (26) |              |
|----|--------------|--------------|--------------|--------------|
|    | $P_m$        | $P_M$        | $P_m$        | $P_M$        |
| 10 | 0,6725E-C4   | -0,9146E-01  | -0,5740E-04  | -0,C3638E+00 |
| 11 | 0,6683E-04   | -0,C9140E-C1 | 0,8244E-C5   | -0,3573E+00  |
| 12 | 0,6691E-04   | -0,C9142E-C1 | -0,1416E-C5  | -0,3657E+00  |
| 13 | 0,6692E-C4   | -0,9141E-C1  | C,2447E-C6   | -0,C3924E+00 |
| 14 | 0,6691E-04   | -0,C9143E-C1 | -0,8025E-C7  | -0,C4459E+00 |
| 15 | 0,6690E-C4   | -0,C7621E+01 | C,9414E-C7   | -0,C5504E+00 |
| 16 | 0,6689E-04   | -0,C914CE-01 | C,1323E-C6   | -0,C7868E+00 |
| 17 | 0,6691E-04   | -0,C9143E-C1 | -0,4902E-C6  | -0,C1652E+C1 |
| 18 | 0,6693E-C4   | -0,C9141E-C1 | 0,1455E-C6   | 0,5539E+C1   |
| 19 | 0,6674E-C4   | -0,C9141E-C1 | -0,5149E-05  | 0,9211E+00   |
| 20 | 0,6714E-C4   | -0,C9145E-01 | 0,2052E-04   | 0,4725E+00   |

Z o z n a m   o b r á z k o v

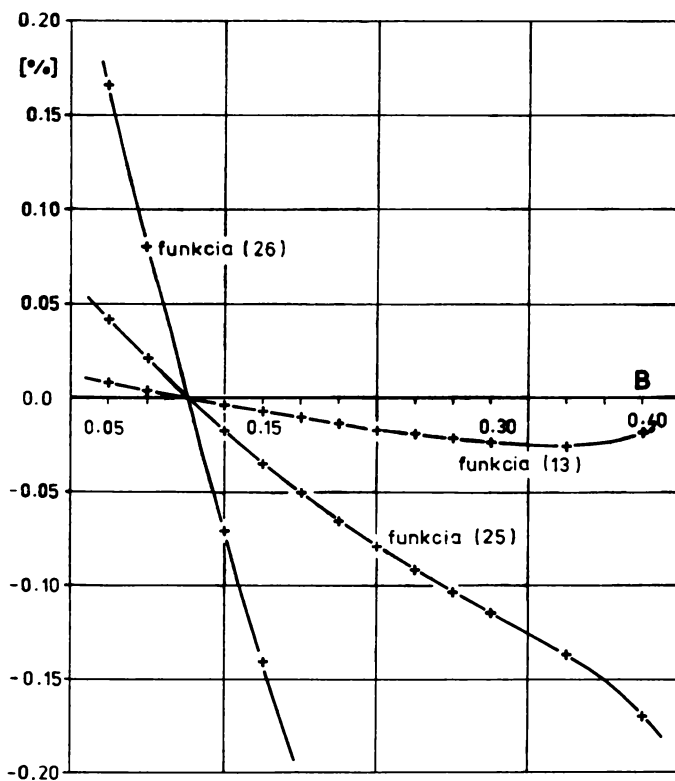
- Obr.1. Interferenčné čiary reprezentujúce čiary rovnakých priehybov na modeli votknutej štvorcovej dosky.
- Obr.2. Porovnanie vypočítaných hodnôt prvých derivácií s teoretickými v reze O - O cez stred dosky.
- Obr.3. Závislosť presnosti výpočtu na hodnote koeficientu B pri výpočte druhých derivácií na rovnomerne delenom intervale.
- Obr.4. Porovnanie vypočítaných hodnôt druhých derivácií v reze cez stred štvorcovej bodovo podopretej dosky.



obr. 1.



obr. 2.



obr. 3.

